

4. 最大応答時における等価周期と加速度応答スペクトルの関係

本章では、3章の2種地盤、3種地盤において、同じ構造特性係数 D_s の値であってもその最大層間変形角 R_{max} には解析地点によって大きな差異がみられた現象について地盤の增幅特性と建築物の等価周期の関係から考察を行う。

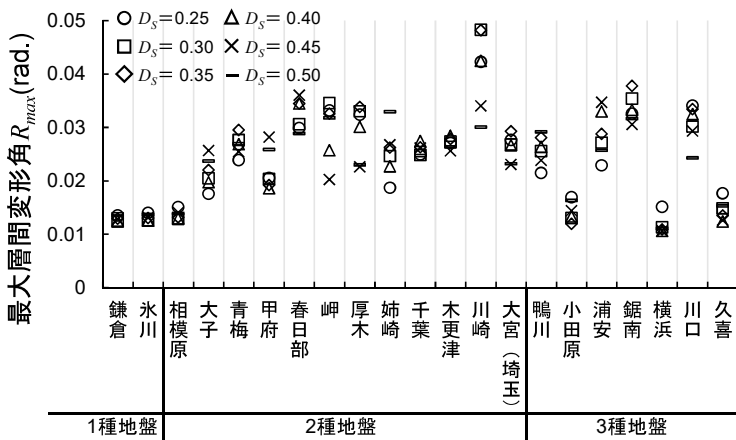
図4.1に各地地盤種別から、1種地盤の鎌倉、冰川、2種地盤の相模原、大子、青梅、甲府、春日部、岬、厚木、姉崎、千葉、木更津、川崎、大宮（埼玉）、3種地盤の鴨川、小田原、浦安、鋸南、横浜、川口、久喜の最大層間変形角 R_{max} を構造特性係数 D_s ごとに示す。なお、1種地盤は解析地点によってほとんど最大層間変形角 R_{max} に差異が生じなかつたため、1種地盤の代表として鎌倉、冰川を選定した。また、2種地盤の大子、青梅、甲府、春日部、岬、厚木、姉崎、千葉、木更津、川崎、大宮（埼玉）は前述の3章で大きな最大層間変形角 R_{max} の値を示した解析地点である。

3階建てモデルの場合、1種地盤の鎌倉、冰川と2種地盤の相模原の最大層間変形角 R_{max} は良く似た傾向を示しており、構造特性係数 D_s が0.25の場合でも小さい最大層間変形角 R_{max} の値を示した。一方、2種地盤の大子、青梅、甲府、春日部、岬、厚木、姉崎、千葉、木更津、川崎、大宮（埼玉）は構造特性係数 D_s を大きくしても、応答が小さくならなかつた。特に、川崎は構造特性係数 D_s が0.25の場合における最大層間変形角 R_{max} の値が大きく、構造特性係数 D_s を大きくしても、大きい最大層間変形角 R_{max} の値を示した。3種地盤では小田原、横浜、久喜は構造特性係数 D_s が0.25の場合でも小さい最大層間変形角 R_{max} の値を示したが、鴨川、浦安、鋸南、川口は構造特性係数 D_s を大きくしても、応答が小さくならなかつた。

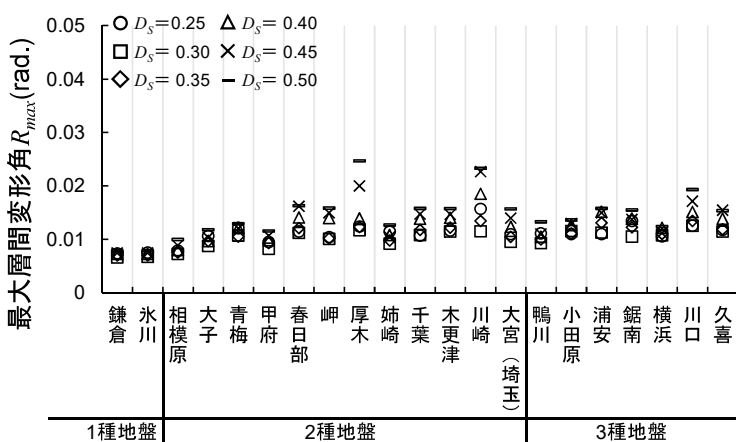
8階建てモデルの場合、1種地盤の鎌倉、冰川と2種地盤の相模原の最大層間変形角 R_{max} の値は良く似た傾向し、構造特性係数 D_s が0.25の場合でも小さい最大層間変形角 R_{max} の値を示した。一方、2種地盤の大子、青梅、甲府、春日部、岬、厚木、姉崎、千葉、木更津、川崎、大宮（埼玉）は構造特性係数 D_s を大きくすると、応答が大きくなる傾向を示した。3種地盤においても、鴨川、小田原、浦安、鋸南、川口、久喜は構造特性係数 D_s を大きくすると、応答が大きくなる傾向を示した。

14階建てモデルの場合、構造特性係数 D_s が小さい場合から、最大層間変形角 R_{max} の値は比較的小さな値を示した。一方、3種地盤において小田原、横浜、久喜は他の3種地盤に比べて大きな最大層間変形角 R_{max} の値を示した。また、3種地盤において、構造特性係数 D_s を大きくすると、応答が大きくなる傾向がみられた。

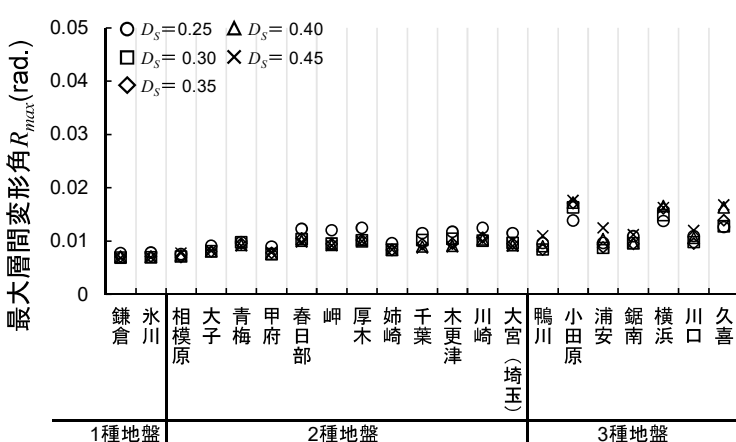
以下では、上記の現象について、1種地盤の鎌倉、冰川、2種地盤の相模原に加え、比較的大きな最大層間変形角 R_{max} の値を示した2種地盤の春日部、厚木、川崎と3種地盤の鴨川、横浜について地盤の增幅特性と建築物の等価周期の関係から考察を行つた。



(a) 3階建てモデル



(b) 8階建てモデル



(c) 14階建てモデル

図 4.1 最大応答変形角 R_{max}

図 4.2 に図 4.3～図 4.26 の加速度応答スペクトル S_a と等価周期 T_{eq} の関係及び加速度応答スペクトル S_a と変位応答スペクトル S_d の関係の概念図を示す。

また、図 4.3～図 4.26 の(a)に各地地盤種別から、鎌倉、冰川（1 種地盤）、相模原、春日部、厚木、川崎（2 種地盤）、鴨川、横浜（3 種地盤）の加速度応答スペクトル S_a を示す。図中には、各構造特性係数 D_S における建築物の等価周期 T_{eq} を破線で示す。なお、加速度応答スペクトル S_a は減衰定数 5% として算定した。各構造特性係数 D_S における建築物の等価周期 T_{eq} は応答解析結果を用いて、(4.1)式により算定した。

$$T_{eq} = 2\pi \sqrt{M_{us} \frac{R_{max} \cdot H_u}{Q_{max}}} \quad (4.1)$$

- M_u : 有効質量(ton)
- R_{max} : 最大応答変形角(rad.)
- H_u : 有効高さ(m)
- Q_{max} : R_{max} を示すときの層せん断力(kN)

図 4.3～図 4.26 の(b)に各地地盤種別から、鎌倉、冰川（1 種地盤）、相模原、春日部、厚木、川崎（2 種地盤）、鴨川、横浜（3 種地盤）の加速度応答スペクトル S_a と変位応答スペクトル S_d を示す。なお、変位応答スペクトル S_d は、加速度応答スペクトル S_a と同様の方法により、減衰定数に 5% を用いて算定した。なお、以下では、図 4.3～図 4.26 の(b)のように加速度応答スペクトル S_a と変位応答スペクトル S_d の関係による曲線を S_a-S_d 曲線と呼称する。また、図中には各構造特性係数 D_S に対応する建築物の等価周期 T_{eq} を示す S_a/S_d を、(4.2)式の関係に基づき破線で示す。

$$\frac{S_a}{S_d} = \left(\frac{2\pi}{T_{eq}} \right)^2 \quad (4.2)$$

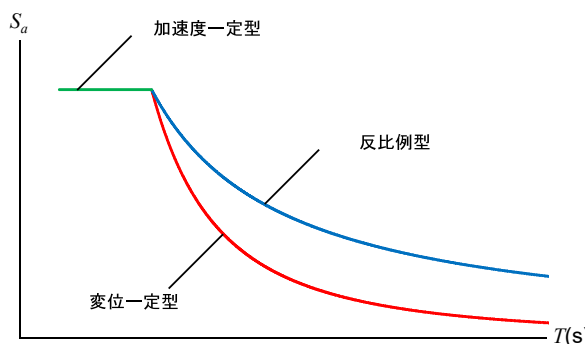
加速度応答スペクトル S_a の形状は、1 種地盤は解析地点によらず同様の形状を示した。2 種地盤は春日部、厚木、川崎が同様の加速度応答スペクトル S_a の形状を示したが、相模原は 1 種地盤とよく似た加速度応答スペクトル S_a の形状を示した。3 種地盤の鴨川は 2 種地盤の春日部、厚木、川崎とよく似た加速度応答スペクトル S_a の形状を示したが、横浜の加速度応答スペクトル S_a はなだらかな形状を示した。

S_a-S_d 曲線の形状も同様に 1 種地盤と 2 種地盤の相模原が同様の形状を示し、変位応答スペクトル S_d が増えると加速度応答スペクトル S_a が減少する形状を示した。2 種地盤の春日部、厚木、川崎は同様の S_a-S_d 曲線の形状を示し、その形状は変位応答スペクトル S_d によ

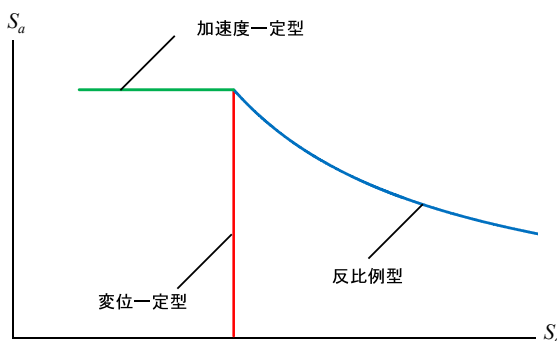
らず加速度応答スペクトル S_a が一定となる領域、加速度応答スペクトル S_a よらず変位応答スペクトル S_d が一定となる領域、変位応答スペクトル S_d が増えると加速度応答スペクトル S_a が減少する領域を有していた。3種地盤の鴨川は、2種地盤の春日部、厚木、川崎と同様の傾向を示した。一方、横浜はなだらかな S_a-S_d 曲線を有し、変位応答スペクトル S_d によらず加速度応答スペクトル S_a が一定となる領域が大半を占め、その後加速度応答スペクトル S_a よらず変位応答スペクトル S_d が一定となる領域を有していた。

また、建築物の等価周期 T_{eq} と S_a-S_d 曲線の交点より、構造特性係数 D_S と加速度応答スペクトル S_a の相関は以下の3つのパターンに大別できる（図4.2参照）。

- i) 加速度応答スペクトル S_a が周期によらずほぼ一定で、構造特性係数 D_S の減少と共に応答変位が増大する加速度一定型のパターン。
- ii) 加速度応答スペクトル S_a が周期に対して顕著に減少し、構造特性係数 D_S の値に係わらず応答変位がほぼ同じないし、場合によっては構造特性係数が大きくなると応答変位がむしろ大きくなる変位一定型のパターン。
- iii) 加速度応答スペクトル S_a が周期と共に緩やかに減少し、構造特性係数 D_S の減少と共に、応答変位が増大する反比例型のパターン。



(a) 加速度応答スペクトル S_a と周期 T の関係



(b) 加速度応答スペクトル S_a と変位応答スペクトル S_d の関係

図4.2 構造特性係数 D_S と加速度応答スペクトル S_a の相関

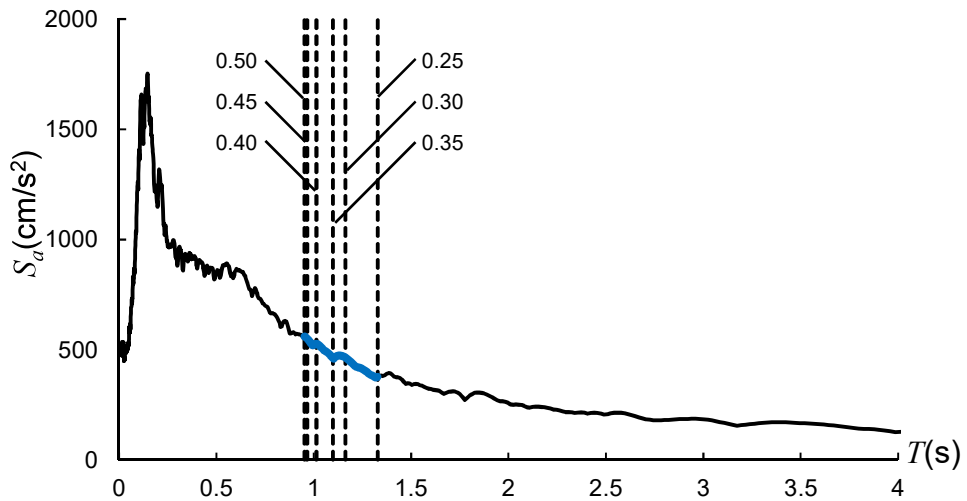
図4.3～図4.10に3階建てモデルの結果を示す。

1種地盤の場合、各構造特性係数 D_S における建築物の等価周期 T_{eq} は、ほぼ同じ値を示しており、その値は 0.9 秒～1.4 秒であった。また、地盤の卓越周期（加速度応答スペクトル S_a が最大値となる周期）を過ぎた後の、変位応答スペクトル S_d が増えると加速度応答スペクトル S_a が減少する領域に、各構造特性係数 D_S における建築物の等価周期 T_{eq} と $S_a - S_d$ 曲線の交点があり、構造特性係数 D_S が大きくなるとその値は小さくなつた（反比例型）。

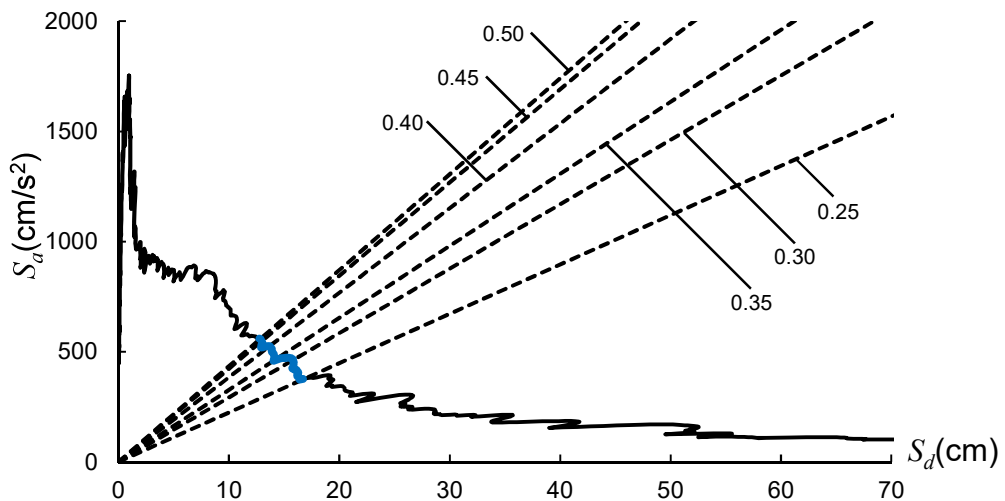
2種地盤の場合、相模原が1種地盤とほぼ同じ建築物の等価周期 T_{eq} の値を示した。また、 $S_a - S_d$ 曲線において、相模原は1種地盤と同様に変位応答スペクトル S_d が増えると加速度応答スペクトル S_a が減少する反比例型となり、構造特性係数 D_S が大きくなると建築物の等価周期 T_{eq} と $S_a - S_d$ 曲線の交点における変位 S_d の値は小さくなつた。一方、春日部、厚木、川崎の各構造特性係数 D_S における建築物の等価周期 T_{eq} は大きくばらつく結果となり、その値も1種地盤と2種地盤の相模原に比べて大きくなる傾向を示した。春日部の各構造特性係数 D_S における建築物の等価周期 T_{eq} と $S_a - S_d$ 曲線の交点は、地盤の卓越周期を過ぎた後の加速度応答スペクトル S_a に関わらず変位応答スペクトル S_d が一定となる領域にあり、その値は構造特性係数 D_S を大きくしてもほとんど小さくならなかつた（変位一定型）。また、厚木、川崎の建築物の等価周期 T_{eq} と $S_a - S_d$ 曲線の交点も同様に変位一定型であったが、構造特性係数 D_S が 0.25～0.40 にかけて $S_a - S_d$ 曲線が突出するような形状を有していた。このため、構造特性係数 D_S が 0.25～0.40 の場合の方が、構造特性係数 D_S が 0.45、0.50 の場合より応答が大きくなつた。

3種地盤の場合、鴨川の各構造特性係数 D_S における建築物の等価周期 T_{eq} は 1.4 秒～1.7 秒、横浜の各構造特性係数 D_S における建築物の等価周期 T_{eq} は 0.9 秒～1.4 秒となり、横浜の各構造特性係数 D_S における建築物の等価周期 T_{eq} の方が短かつた。また、鴨川の建築物の等価周期 T_{eq} と $S_a - S_d$ 曲線の交点は2種地盤の春日部、厚木、川崎と同様に加速度応答スペクトル S_a に関わらず変位応答スペクトル S_d が一定となる変位一定型となり、構造特性係数 D_S を大きくしても建築物の等価周期 T_{eq} と $S_a - S_d$ 曲線の交点における変位 S_d の値はほとんど小さくならなかつた。一方、横浜の建築物の等価周期 T_{eq} と $S_a - S_d$ 曲線の交点は地盤の卓越周期の前の、変位応答スペクトル S_d によらず加速度応答スペクトル S_a が一定となる領域にあり、構造特性係数 D_S が 0.25 の時の応答は大きいが、構造特性係数 D_S を大きくすると応答が小さくなる傾向を示した（加速度一定型）。

3階建てモデルの場合、1種地盤と2種地盤の相模原が反比例型となり、構造特性係数 D_S を大きくすると $S_a - S_d$ 曲線の交点における変位 S_d の値が小さくなる傾向を示した。2種地盤の春日部、厚木、川崎と3種地盤の鴨川は変位一定型となり、構造特性係数 D_S を大きくしても $S_a - S_d$ 曲線の交点における変位 S_d の値が小さくなりにくい傾向を示した。3種地盤の横浜は加速度一定型となり、構造特性係数 D_S が小さい時の $S_a - S_d$ 曲線の交点における変位 S_d の値は大きいが、構造特性係数 D_S を大きくすると $S_a - S_d$ 曲線の交点における変位 S_d の値が小さくなる傾向を示した。

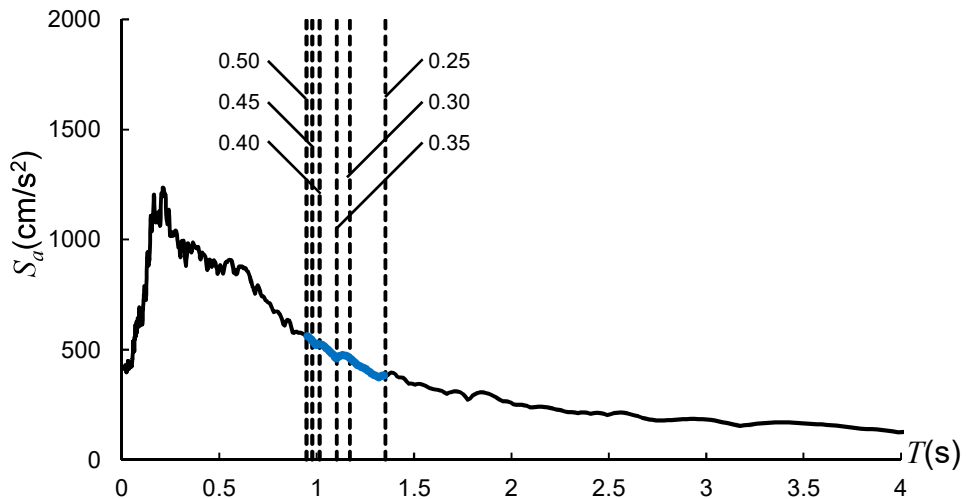


(a) 加速度応答スペクトル S_a と建築物の等価周期 T_{eq}

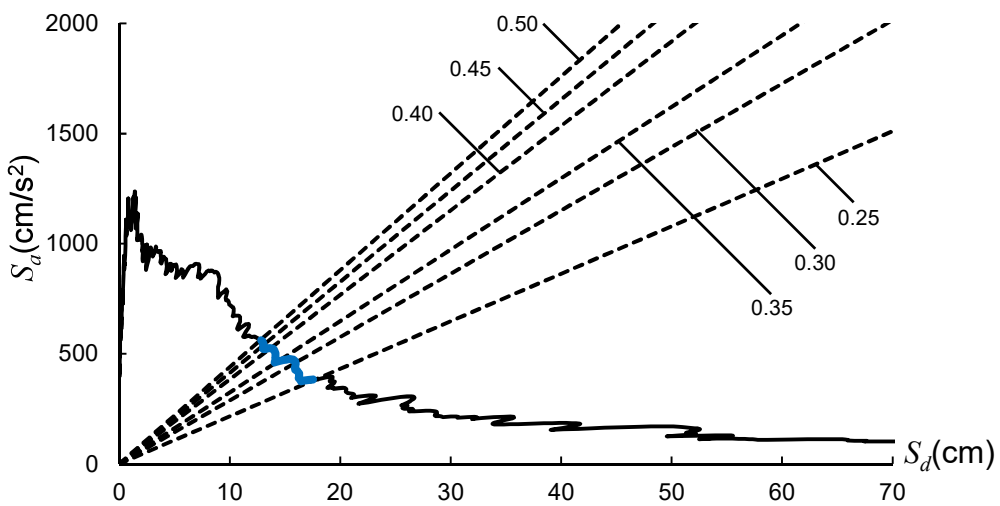


(b) 加速度応答スペクトル S_a , 応答スペクトル S_d 及び建築物の等価周期 T_{eq}

図 4.3 3 階建てモデルー1 種地盤ー鎌倉 (反比例型)

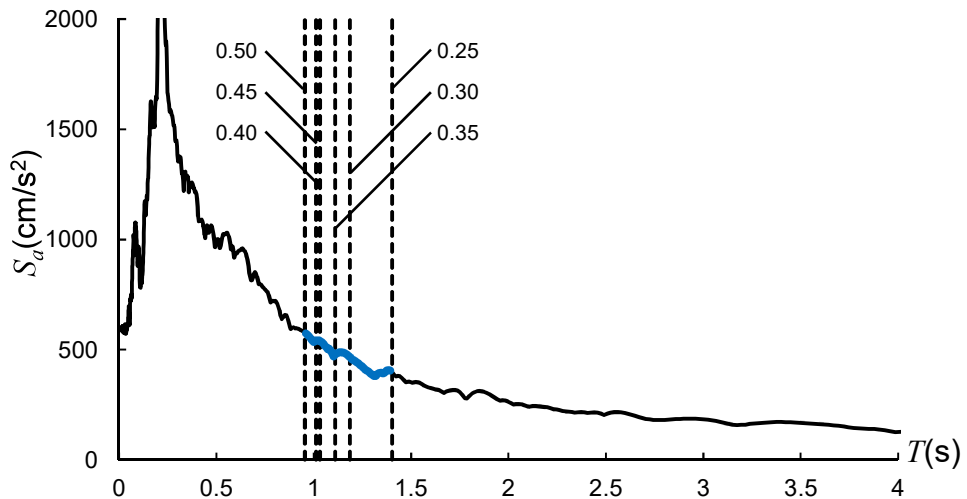


(a) 加速度応答スペクトル S_a と建築物の等価周期 T_{eq}

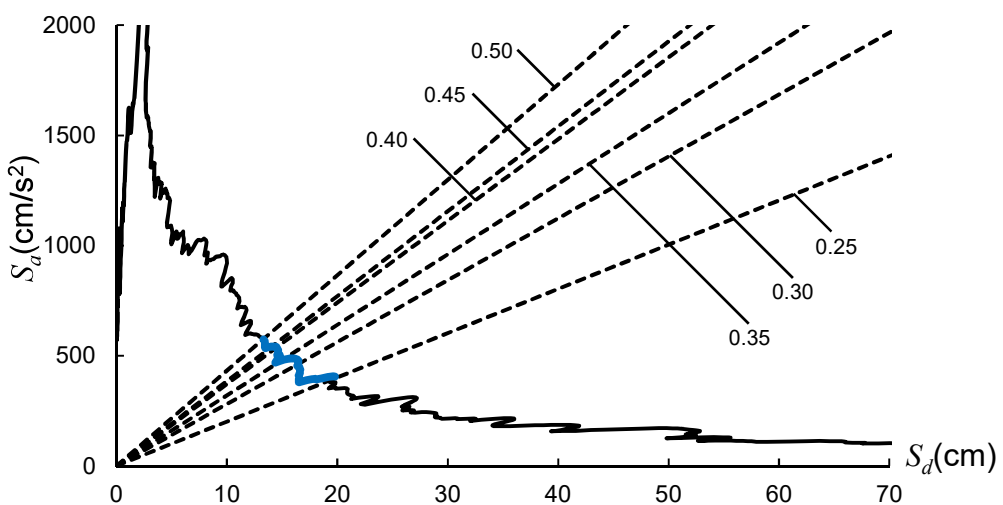


(b) 加速度応答スペクトル S_a , 応答スペクトル S_d 及び建築物の等価周期 T_{eq}

図 4.4 3 階建てモデルー1 種地盤ー氷川（反比例型）

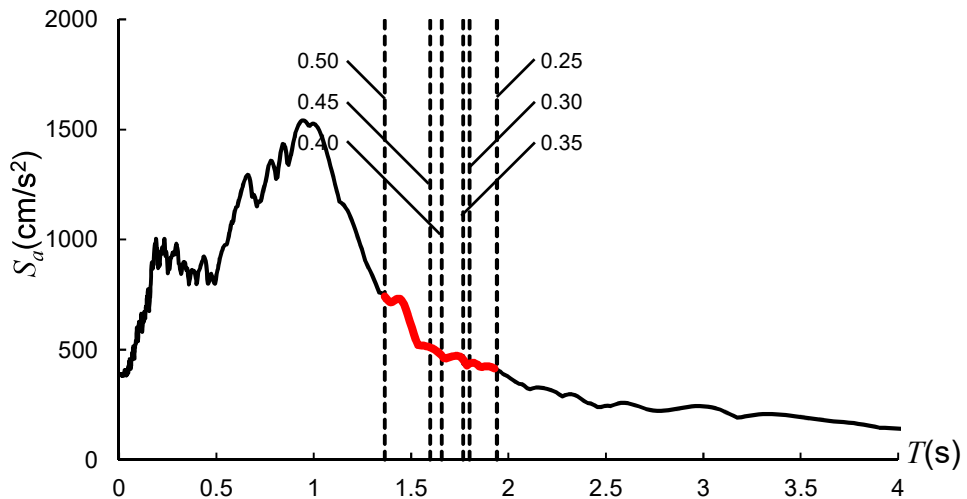


(a) 加速度応答スペクトル S_a と建築物の等価周期 T_{eq}

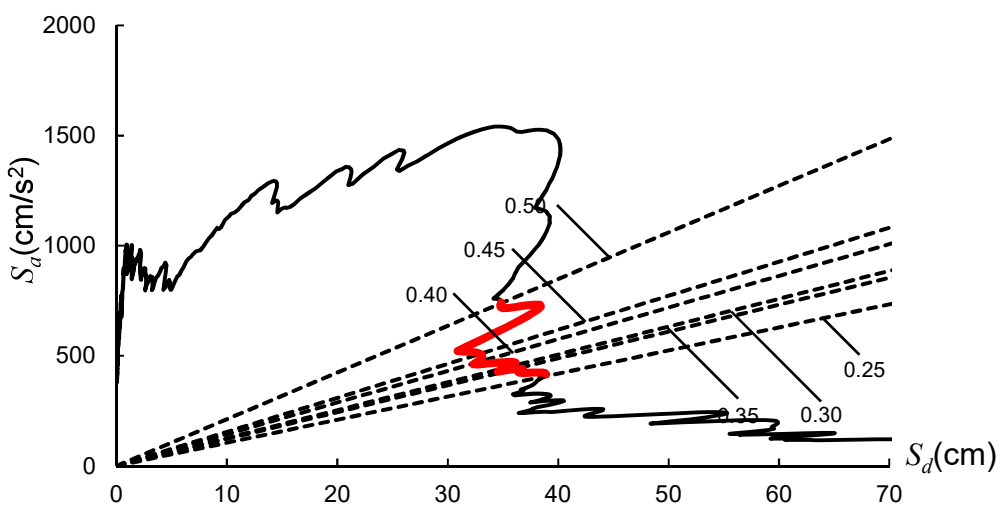


(b) 加速度応答スペクトル S_a , 応答スペクトル S_d 及び建築物の等価周期 T_{eq}

図 4.5 3 階建てモデルー2 種地盤ー相模原（反比例型）

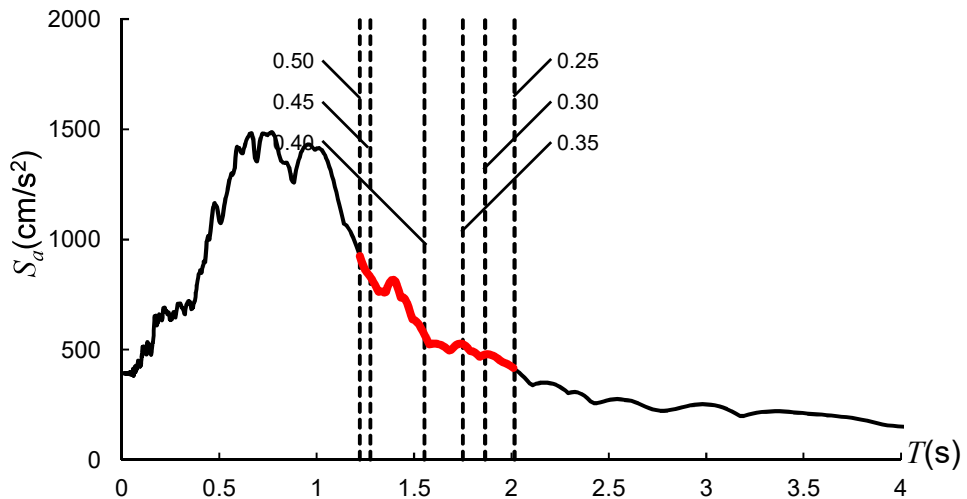


(a) 加速度応答スペクトル S_a と建築物の等価周期 T_{eq}

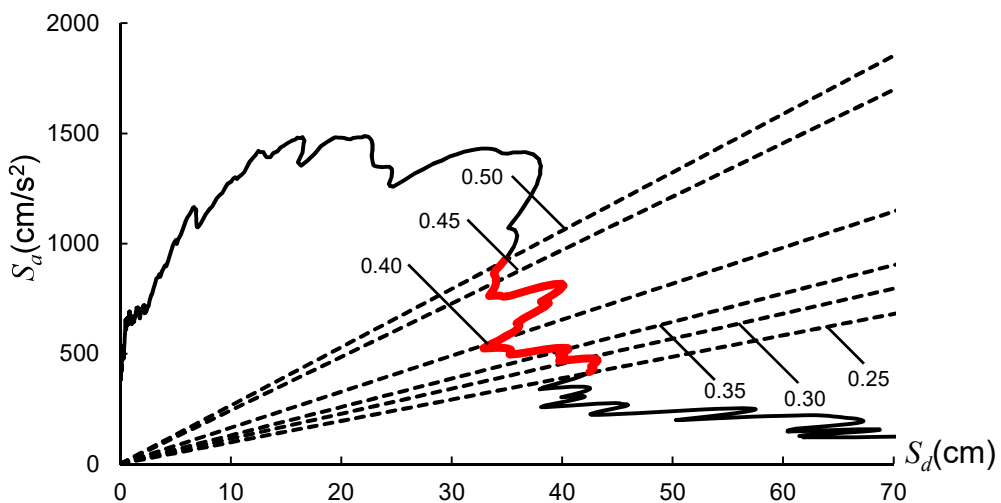


(b) 加速度応答スペクトル S_a , 応答スペクトル S_d 及び建築物の等価周期 T_{eq}

図 4.6 3階建てモデルー2種地盤ー春日部（変位一定型）

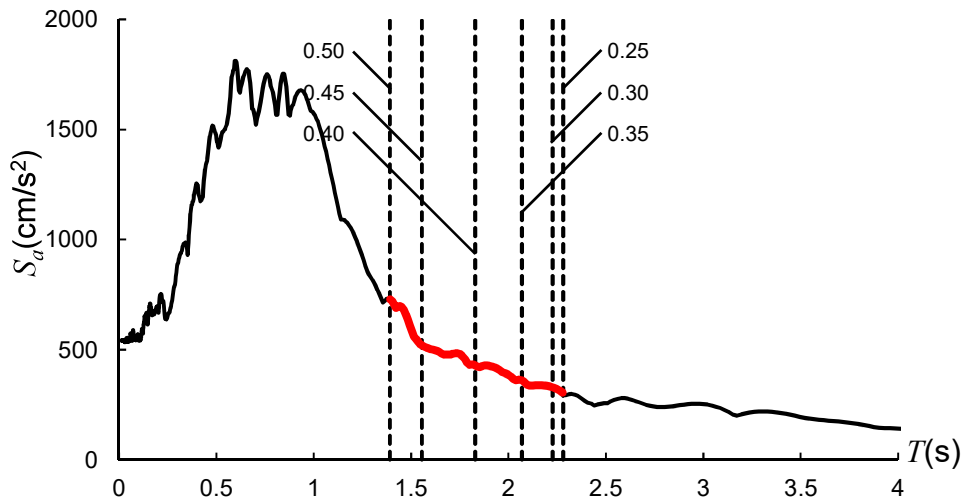


(a) 加速度応答スペクトル S_a と建築物の等価周期 T_{eq}

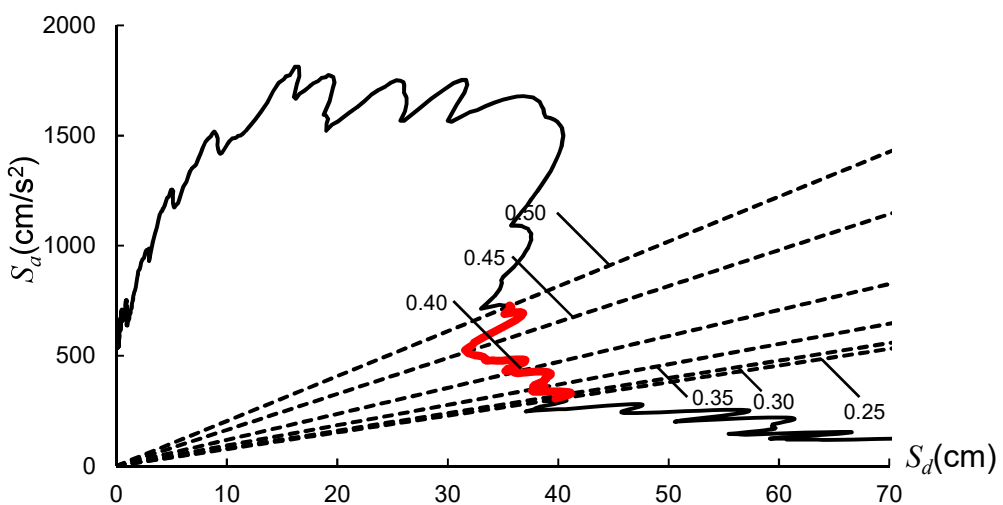


(b) 加速度応答スペクトル S_a , 応答スペクトル S_d 及び建築物の等価周期 T_{eq}

図 4.7 3 階建てモデルー2 種地盤ー厚木（変位一定型）

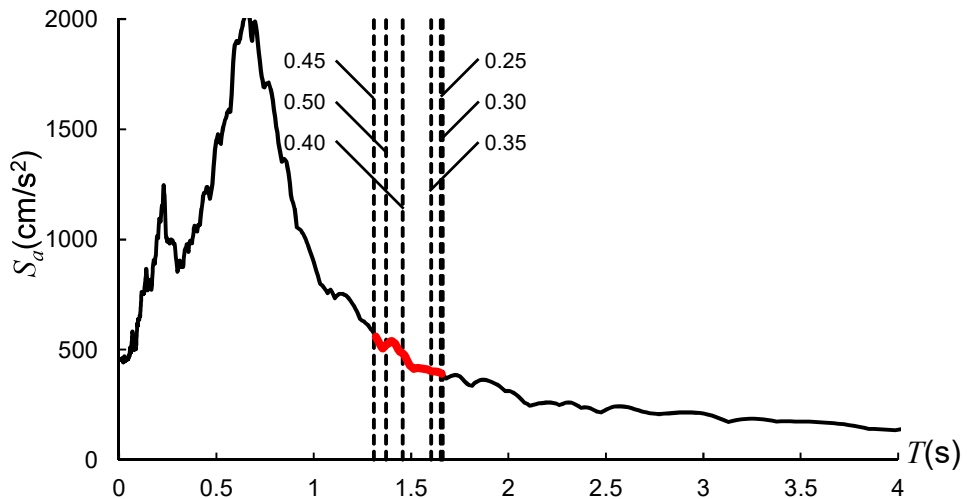


(a) 加速度応答スペクトル S_a と建築物の等価周期 T_{eq}

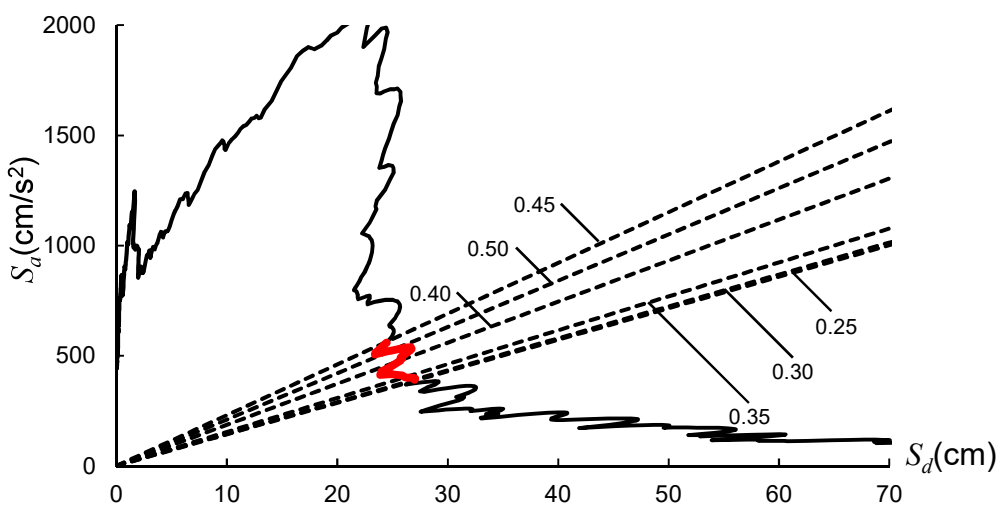


(b) 加速度応答スペクトル S_a , 応答スペクトル S_d 及び建築物の等価周期 T_{eq}

図 4.8 3 階建てモデルー2 種地盤ー川崎 (変位一定型)

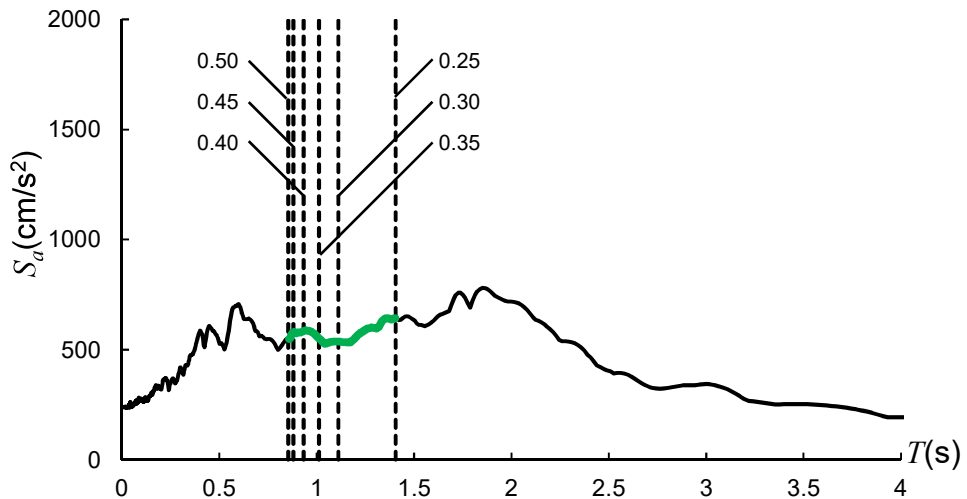


(a) 加速度応答スペクトル S_a と建築物の等価周期 T_{eq}

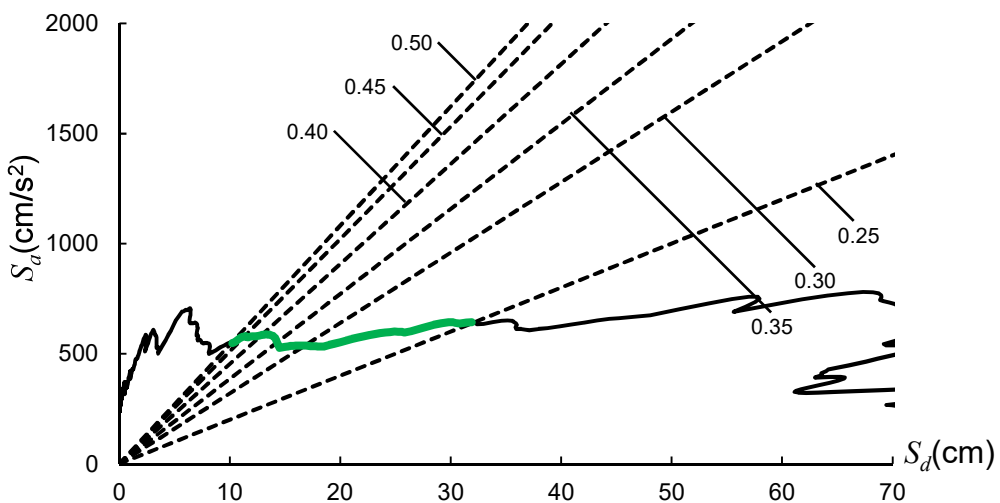


(b) 加速度応答スペクトル S_a , 応答スペクトル S_d 及び建築物の等価周期 T_{eq}

図 4.9 3 階建てモデルー3 種地盤ー鴨川 (変位一定型)



(a) 加速度応答スペクトル S_a と建築物の等価周期 T_{eq}



(b) 加速度応答スペクトル S_a , 応答スペクトル S_d 及び建築物の等価周期 T_{eq}

図 4.10 3階建てモデルー3種地盤ー横浜（加速度一定型）

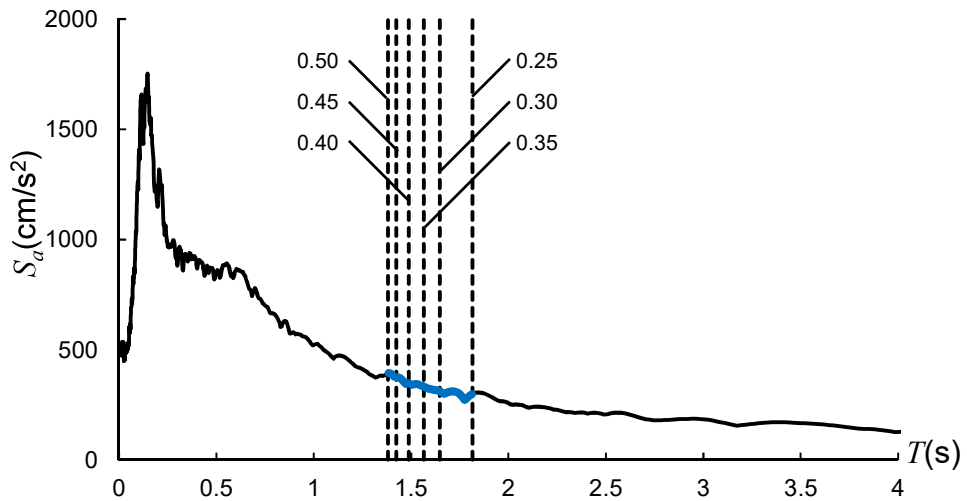
図4.11～図4.18に8階建てモデルの結果を示す。

1種地盤の場合、各構造特性係数 D_S における建築物の等価周期 T_{eq} は、ほぼ同じ値を示しており、その値は1.4秒～1.8秒であった。また、 S_a/S_d と S_a-S_d 曲線の交点は変位応答スペクトル S_d の値が増大すると加速度応答スペクトル S_a が減少する反比例型となり、構造特性係数 D_S を大きくするとその値は小さくなる傾向を示した。

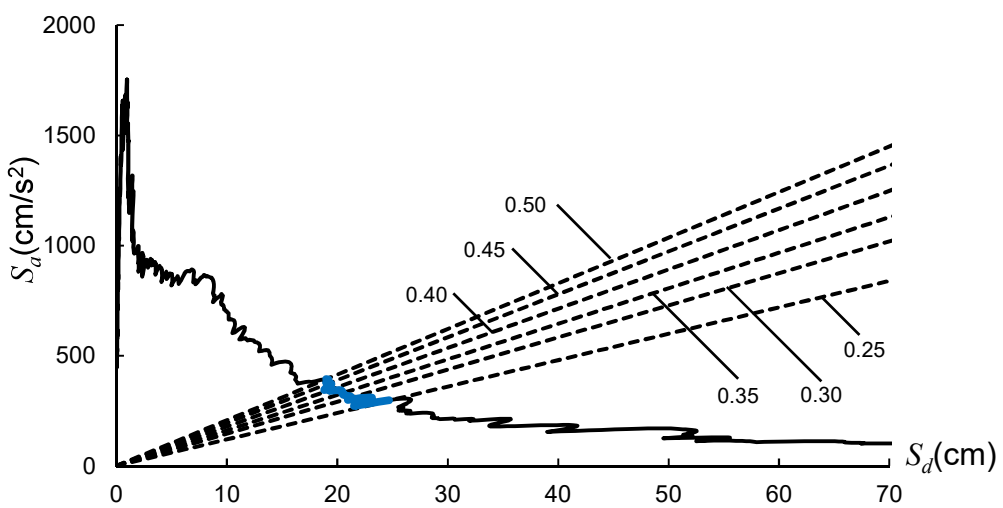
2種地盤の場合、相模原は1種地盤とほぼ同じ建築物の等価周期 T_{eq} の値を示した。また、建築物の等価周期 T_{eq} と S_a-S_d 曲線の交点は、1種地盤と同様に変位応答スペクトル S_d が増えると加速度応答スペクトル S_a が減少する反比例型であった。一方、春日部、厚木、川崎の各構造特性係数 D_S における建築物の等価周期 T_{eq} は1.5秒以上を示し、構造特性係数 D_S を大きくしても、建築物の等価周期 T_{eq} がほとんど変わらないまたは大きくなる結果となつた。また、建築物の等価周期 T_{eq} と S_a-S_d 曲線の交点は、加速度応答スペクトル S_a に関わらず変位応答スペクトル S_d が一定となる変位一定型であった。なお、構造特性係数 D_S を大きくすると応答が大きくなる現象がみられたが、本報告ではマクロ的に変位一定型と見做した。

3種地盤の場合、鴨川の各構造特性係数 D_S における建築物の等価周期 T_{eq} は、2種地盤の春日部、厚木、川崎と同様の傾向を示した。また、等価周期 T_{eq} と S_a-S_d 曲線の交点は、2種地盤の春日部、厚木、川崎と同様に加速度応答スペクトル S_a に関わらず変位応答スペクトル S_d が一定となる変位一定型であった。なお、鴨川においても2種地盤の春日部、厚木、川崎のように構造特性係数 D_S を大きくすると応答が大きくなる現象がみられた。一方、横浜は変位応答スペクトル S_d によらず加速度応答スペクトル S_a が一定となる加速度一定型となつた。

8階建てモデルの場合、3階建てモデルと同様に1種地盤と2種地盤の相模原が反比例型となり、構造特性係数 D_S を大きくすると S_a-S_d 曲線の交点における変位 S_d の値が小さくなる傾向を示した。2種地盤の春日部、厚木、川崎と3種地盤の鴨川は変位一定型となつたが、構造特性係数 D_S を大きくすると S_a-S_d 曲線の交点における変位 S_d の値の値が大きくなる現象がみられた。3種地盤の横浜は3階建てモデルと同様に加速度一定型となつた。

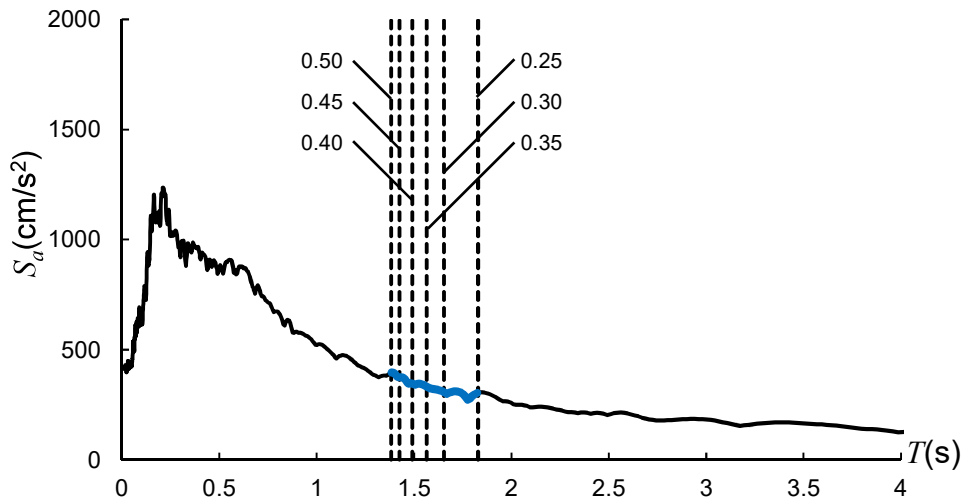


(a) 加速度応答スペクトル S_a と建築物の等価周期 T_{eq}

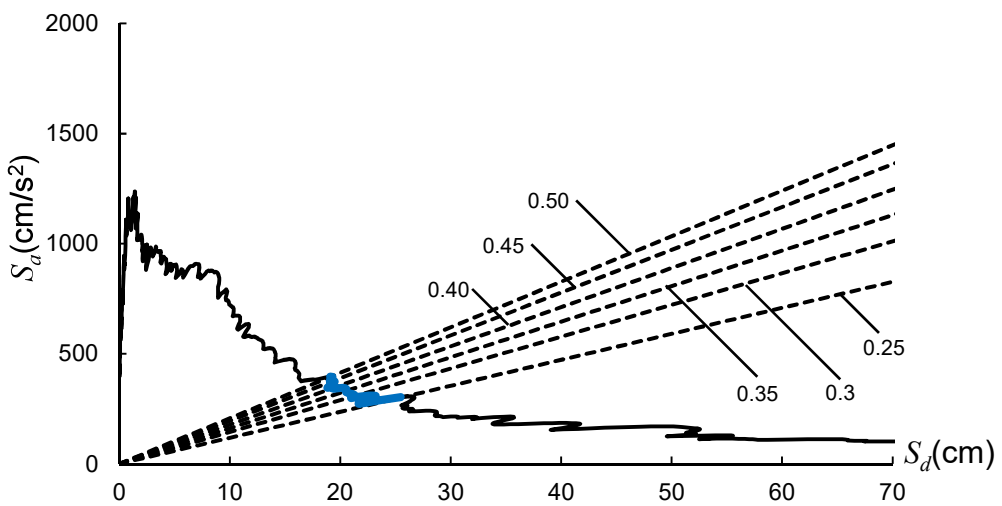


(b) 加速度応答スペクトル S_a , 応答スペクトル S_d 及び建築物の等価周期 T_{eq}

図 4.11 8 階建てモデルー1 種地盤ー鎌倉 (反比例型)

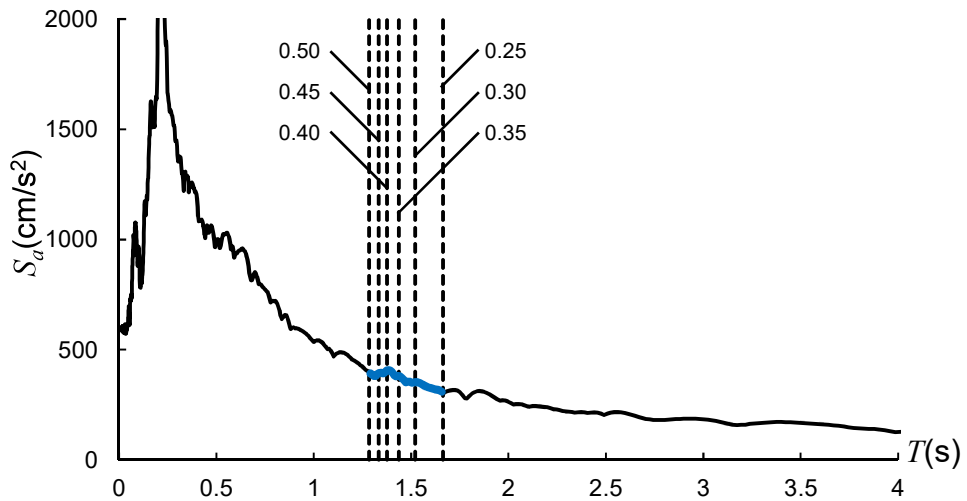


(a) 加速度応答スペクトル S_a と建築物の等価周期 T_{eq}

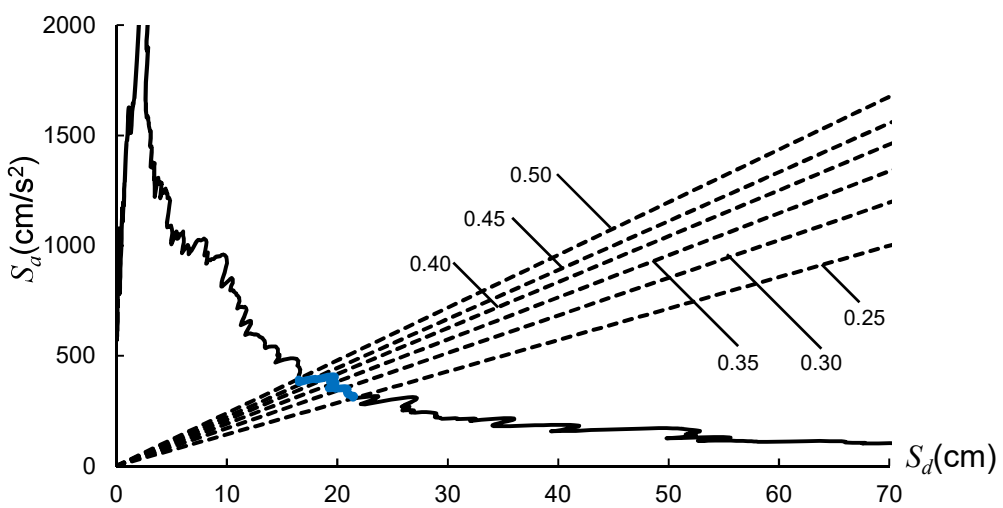


(b) 加速度応答スペクトル S_a , 応答スペクトル S_d 及び建築物の等価周期 T_{eq}

図 4.12 8 階建てモデルー1 種地盤ー氷川（反比例型）

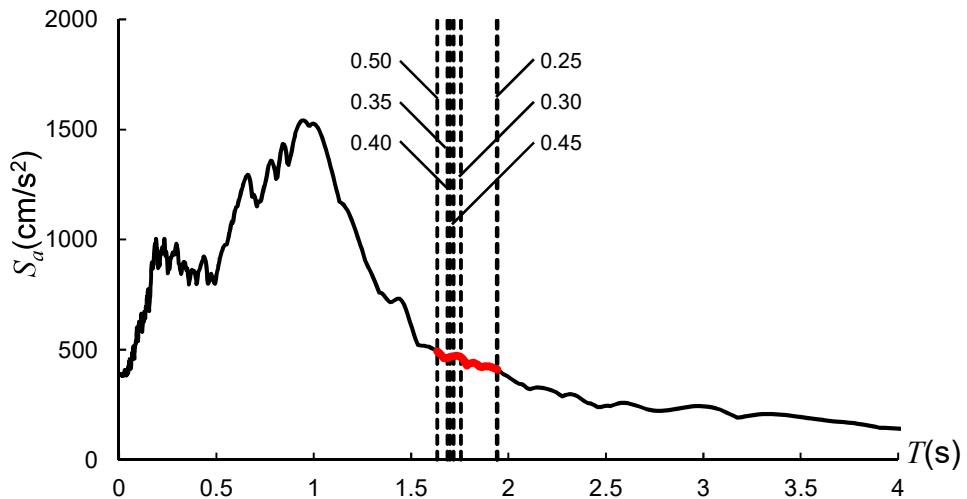


(a) 加速度応答スペクトル S_a と建築物の等価周期 T_{eq}

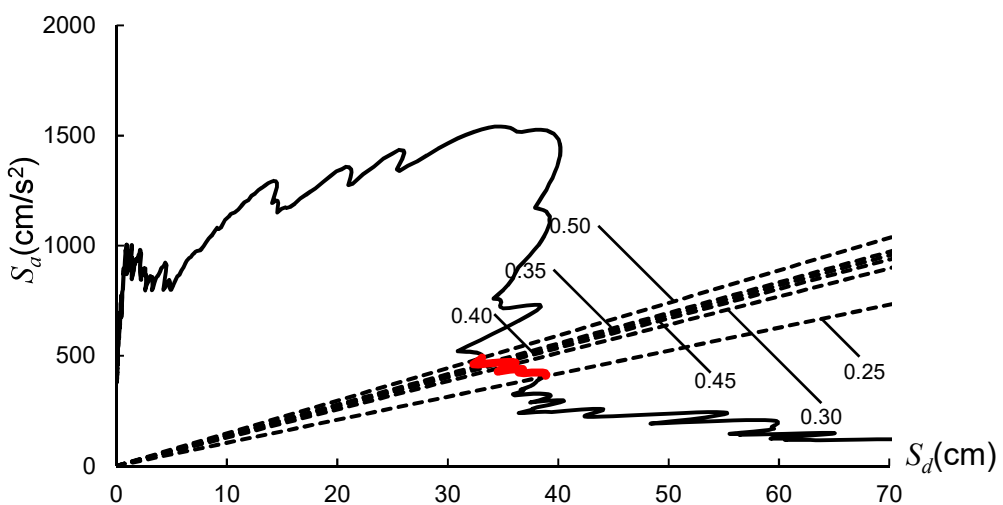


(b) 加速度応答スペクトル S_a , 応答スペクトル S_d 及び建築物の等価周期 T_{eq}

図 4.13 8 階建てモデルー2 種地盤一相模原（反比例型）

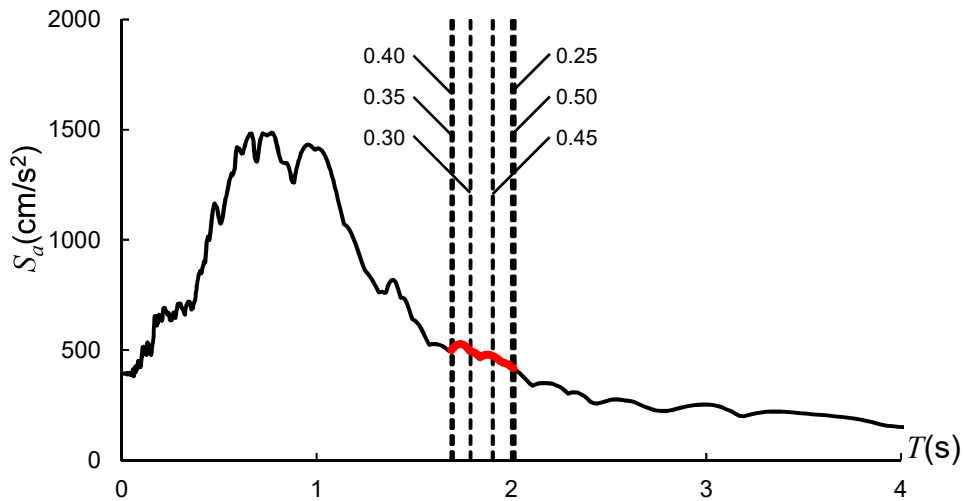


(a) 加速度応答スペクトル S_a と建築物の等価周期 T_{eq}

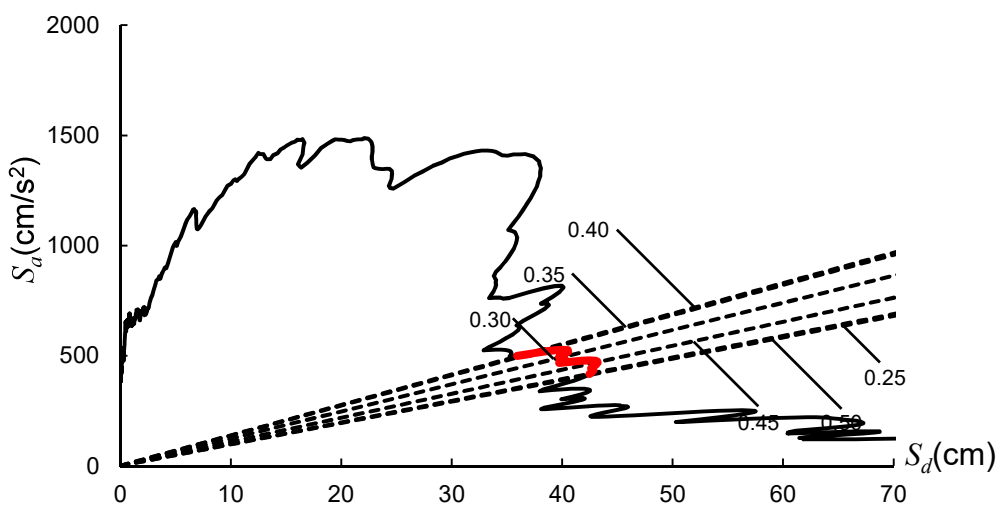


(b) 加速度応答スペクトル S_a , 応答スペクトル S_d 及び建築物の等価周期 T_{eq}

図 4.14 8 階建てモデルー2 種地盤ー春日部（変位一定型）

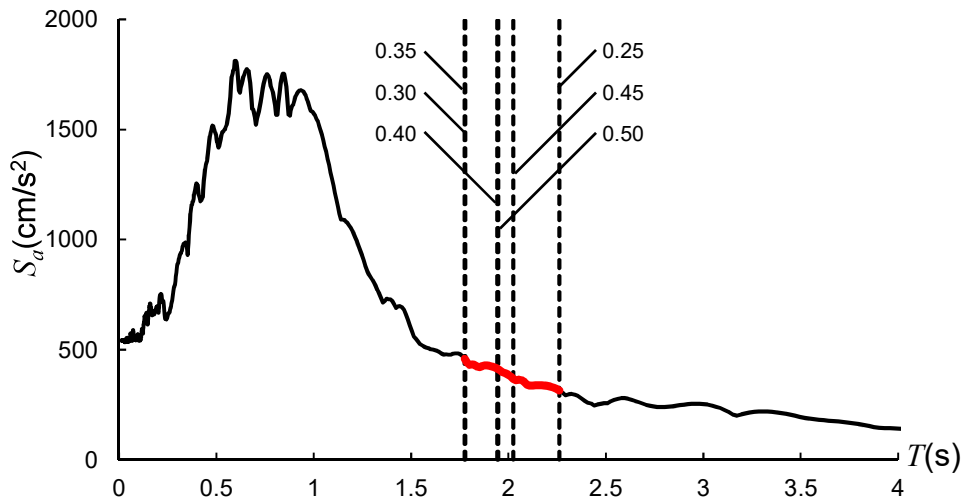


(a) 加速度応答スペクトル S_a と建築物の等価周期 T_{eq}

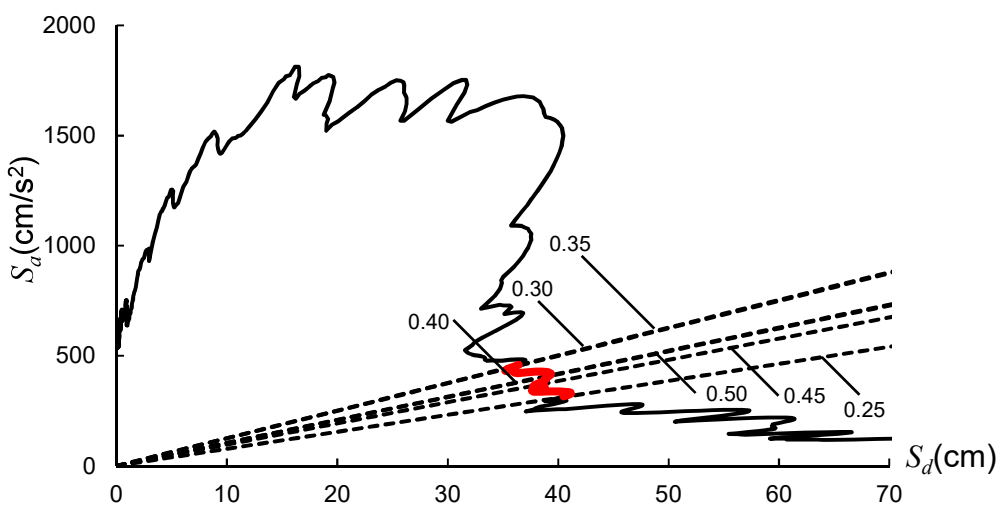


(b) 加速度応答スペクトル S_a , 応答スペクトル S_d 及び建築物の等価周期 T_{eq}

図 4.15 8 階建てモデルー2 種地盤ー厚木 (変位一定型)

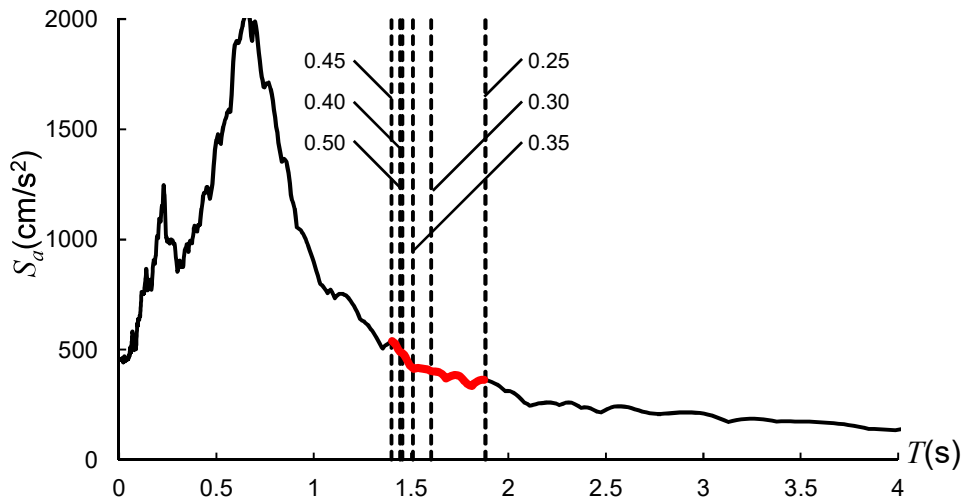


(a) 加速度応答スペクトル S_a と建築物の等価周期 T_{eq}

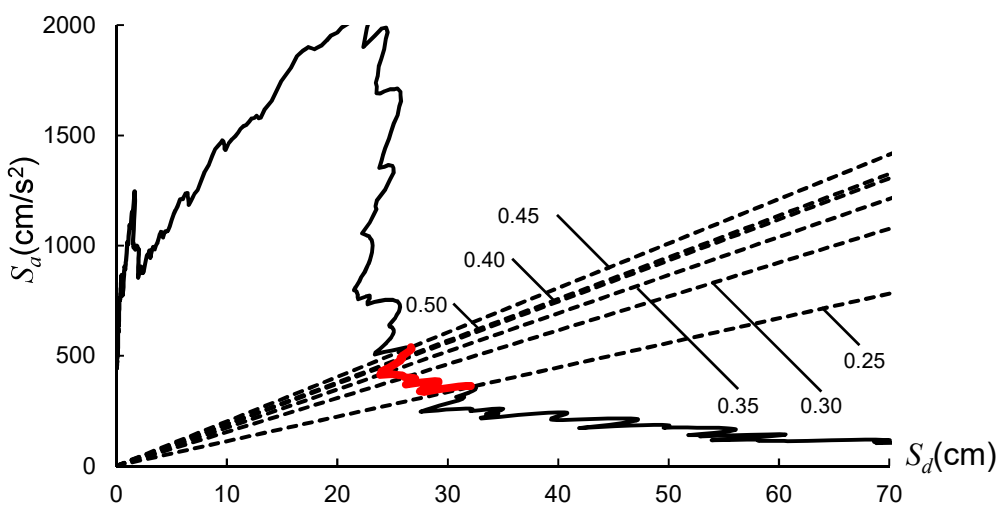


(b) 加速度応答スペクトル S_a , 応答スペクトル S_d 及び建築物の等価周期 T_{eq}

図 4.16 8 階建てモデルー2 種地盤ー川崎（変位一定型）

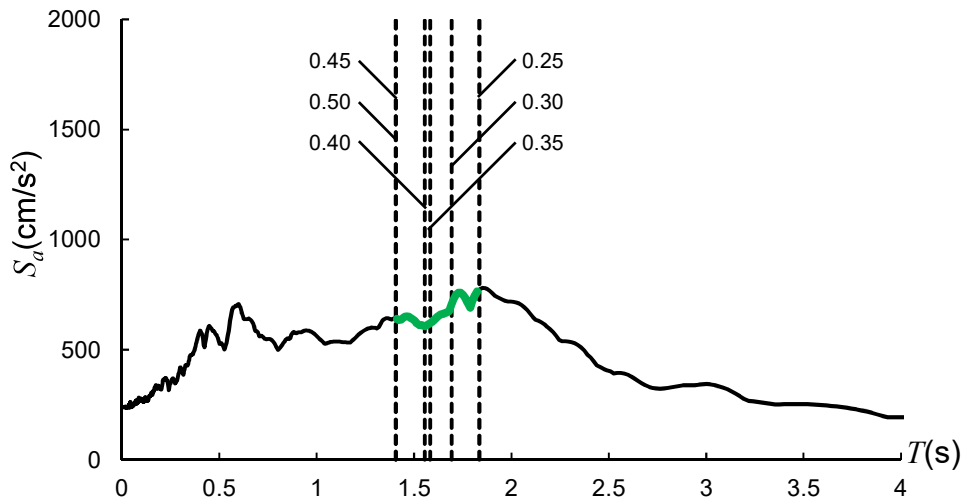


(a) 加速度応答スペクトル S_a と建築物の等価周期 T_{eq}

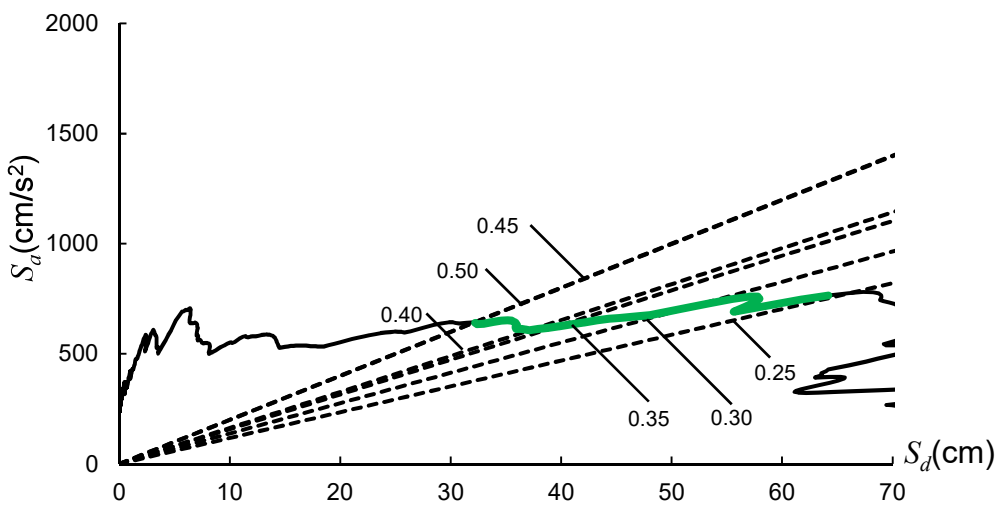


(b) 加速度応答スペクトル S_a , 応答スペクトル S_d 及び建築物の等価周期 T_{eq}

図 4.17 8 階建てモデルー3 種地盤ー鴨川 (変位一定型)



(a) 加速度応答スペクトル S_a と建築物の等価周期 T_{eq}



(b) 加速度応答スペクトル S_a , 応答スペクトル S_d 及び建築物の等価周期 T_{eq}

図 4.18 8 階建てモデルー3 種地盤ー横浜（加速度一定型）

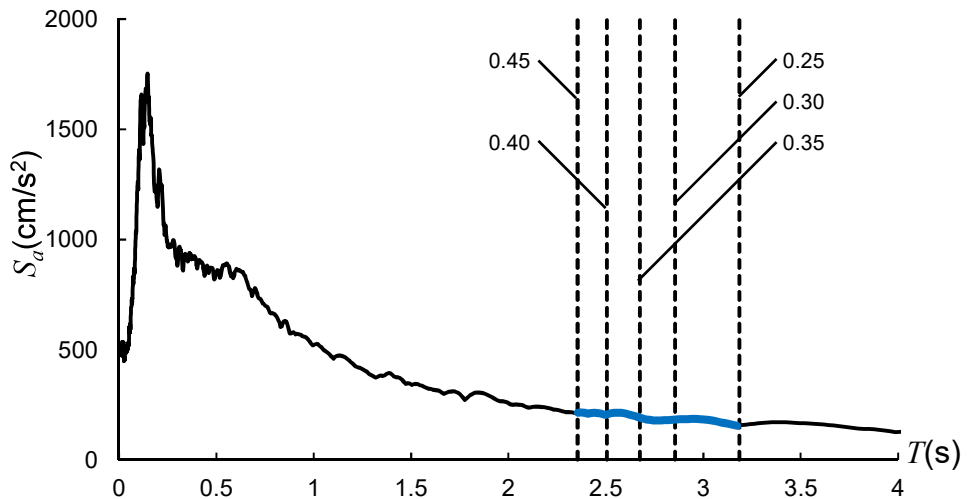
図4.19～図4.26に14階建てモデルの結果を示す。

1種地盤の場合、各構造特性係数 D_S における建築物の等価周期 T_{eq} は、ほぼ同じ値を示しており、その値は2.4秒～3.2秒であった。また、建築物の等価周期 T_{eq} と S_a-S_d 曲線の交点は、変位応答スペクトル S_d が増えると加速度応答スペクトル S_a が減少する反比例型となり、構造特性係数 D_S を大きくすると建築物の等価周期 T_{eq} と S_a-S_d 曲線の交点における変位 S_d の値が小さくなる傾向を示した。

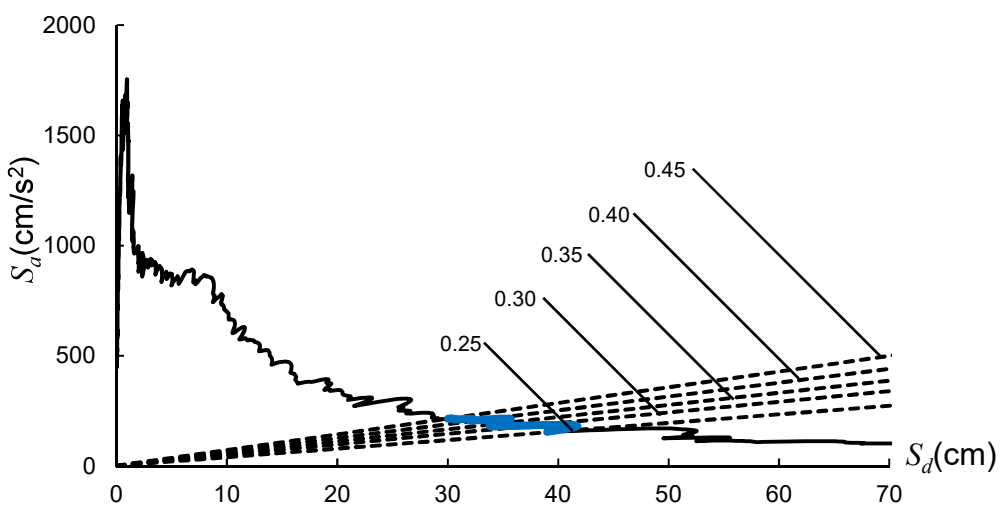
2種地盤の場合、相模原は1種地盤よりも各構造特性係数 D_S における建築物の等価周期 T_{eq} よりも短く、その値は2秒～2.6秒であった。また、建築物の等価周期 T_{eq} と S_a-S_d 曲線の交点も、1種地盤と同様に変位応答スペクトル S_d が増えると加速度応答スペクトル S_a が減少する反比例型となった。一方、春日部、厚木、川崎の各構造特性係数 D_S における建築物の等価周期 T_{eq} はほぼ同じ値を示しており、2.2秒～3.2秒であった。また、建築物の等価周期 T_{eq} と S_a-S_d 曲線の交点は、構造特性係数 D_S が0.25の場合の除き、加速度応答スペクトル S_a に関わらず変位応答スペクトル S_d が一定となる変位一定型となった。

3種地盤の場合、鴨川は1.9秒～2.5秒、横浜の各構造特性係数 D_S における建築物の等価周期 T_{eq} は2.4秒～2.9秒となり、鴨川の各構造特性係数 D_S における建築物の等価周期 T_{eq} の方が短かった。建築物の等価周期 T_{eq} と S_a-S_d 曲線の交点は、鴨川は2種地盤の春日部、厚木、川崎と同様に、構造特性係数 D_S が0.25の場合の除き、加速度応答スペクトル S_a に関わらず変位応答スペクトル S_d が一定となる変位一定型であった。また、横浜も加速度応答スペクトル S_a に関わらず変位応答スペクトル S_d が一定となる変位一定型であった。なお、3種地盤において、8階建てモデルの春日部、厚木、川崎、鴨川と同様に、構造特性係数 D_S を大きくすると応答が大きくなる現象がみられた。

14階建てモデルの場合、1種地盤と2種地盤の相模原は反比例型となり、構造特性係数 D_S を大きくすると S_a-S_d 曲線の交点における変位 S_d の値が小さくなる傾向を示した。2種地盤の春日部、厚木、川崎と3種地盤の鴨川は、構造特性係数 D_S が0.25の場合を除いた変位一定型となり、3種地盤の横浜も変位一定型となった。なお、3種地盤において構造特性係数 D_S を大きくすると応答が大きくなる現象がみられた。

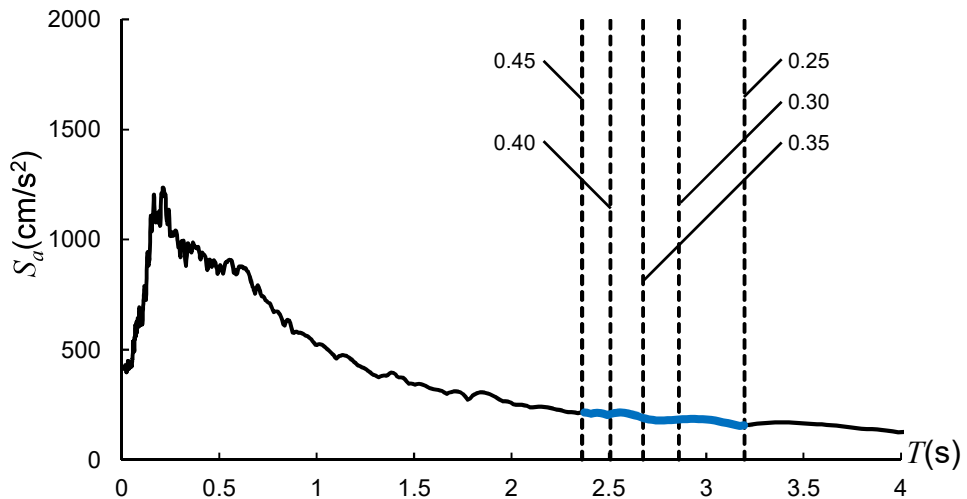


(a) 加速度応答スペクトル S_a と建築物の等価周期 T_{eq}

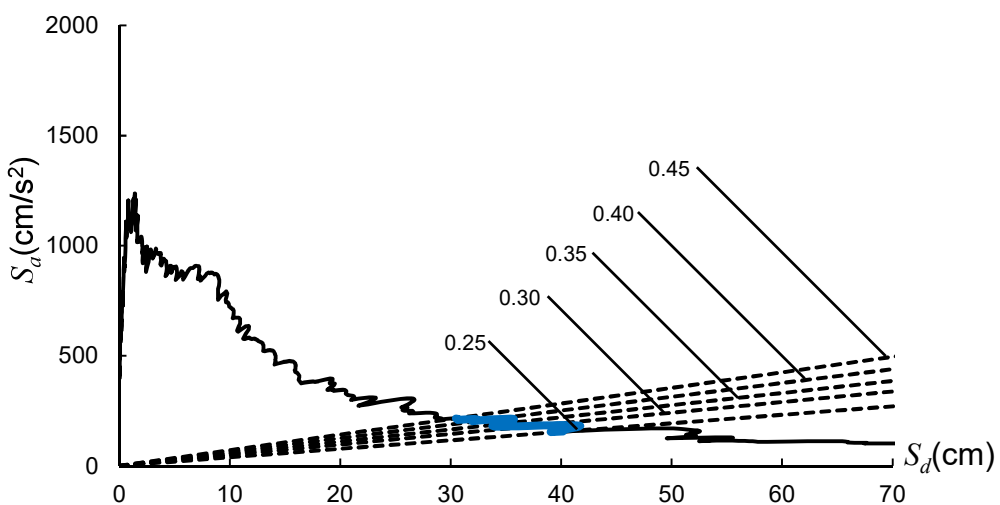


(b) 加速度応答スペクトル S_a , 応答スペクトル S_d 及び建築物の等価周期 T_{eq}

図 4.19 14 階建てモデルー1 種地盤ー鎌倉（反比例型）

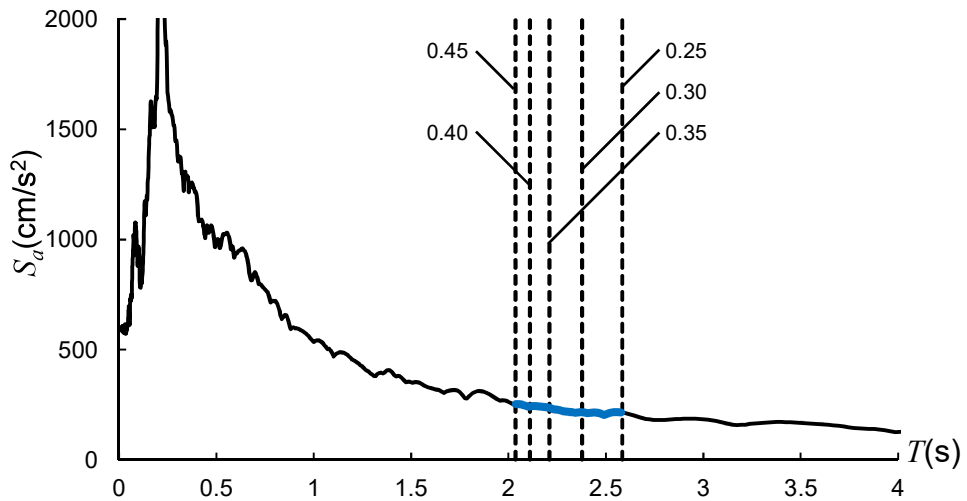


(a) 加速度応答スペクトル S_a と建築物の等価周期 T_{eq}

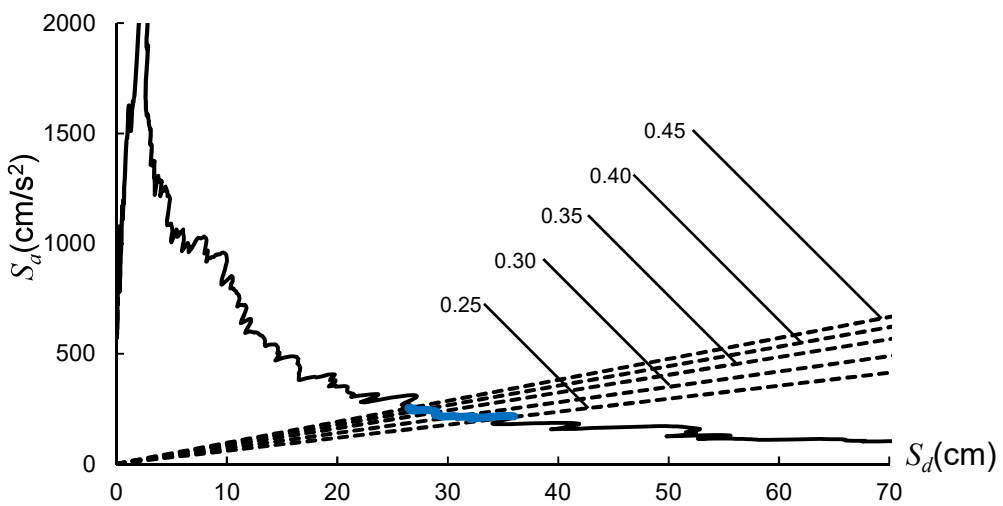


(b) 加速度応答スペクトル S_a , 応答スペクトル S_d 及び建築物の等価周期 T_{eq}

図 4.20 14 階建てモデルー1 種地盤ー氷川（反比例型）

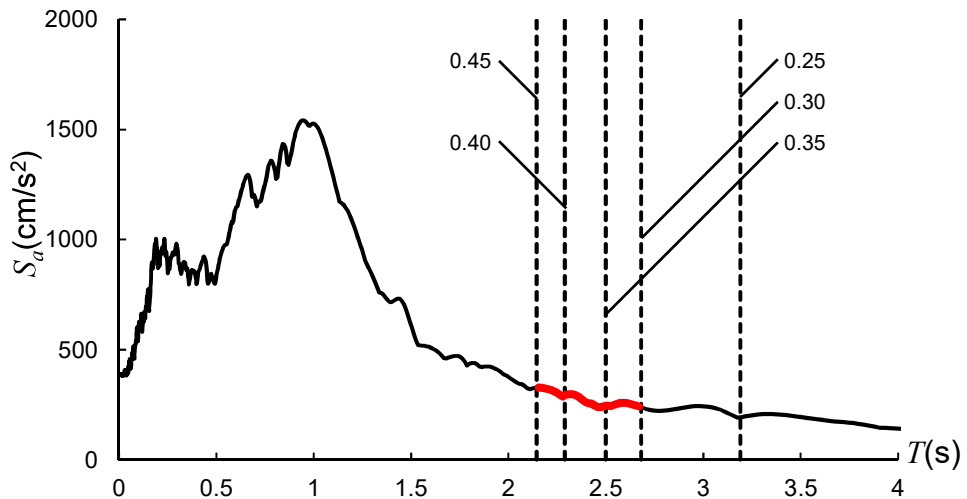


(a) 加速度応答スペクトル S_a と建築物の等価周期 T_{eq}

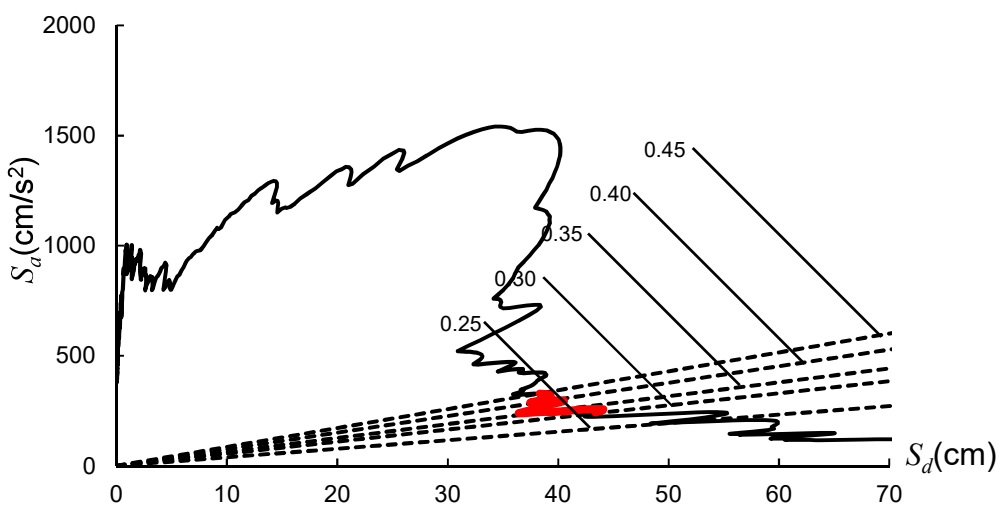


(b) 加速度応答スペクトル S_a , 応答スペクトル S_d 及び建築物の等価周期 T_{eq}

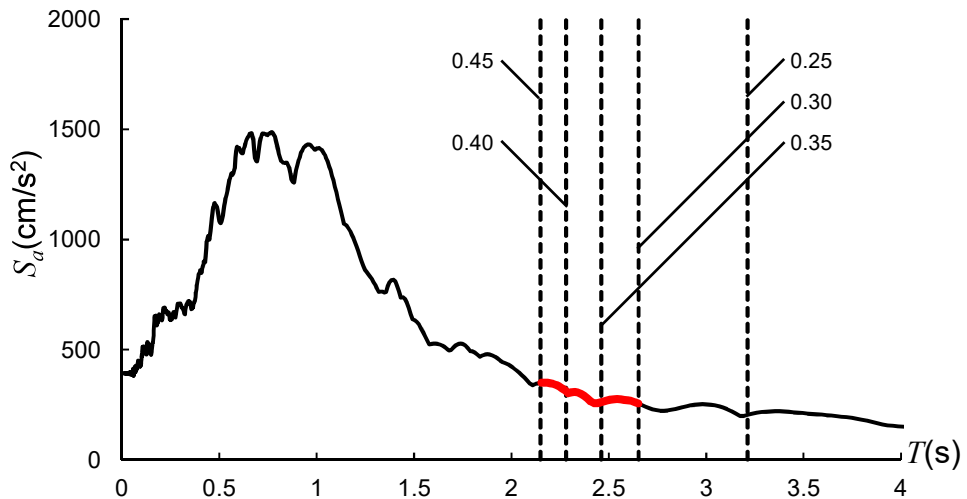
図 4.21 14 階建てモデルー2 種地盤ー相模原（反比例型）



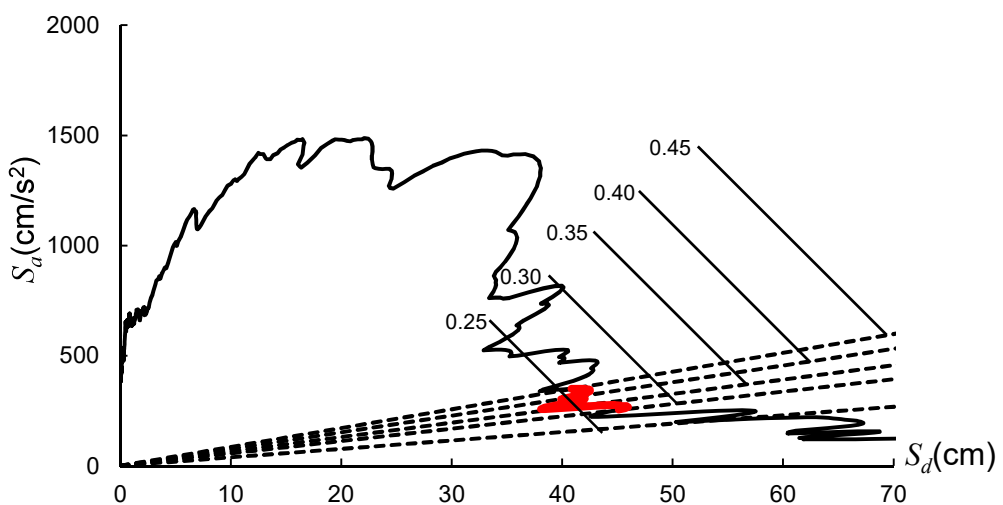
(a) 加速度応答スペクトル S_a と建築物の等価周期 T_{eq}



(b) 加速度応答スペクトル S_a , 応答スペクトル S_d 及び建築物の等価周期 T_{eq}
図 4.22 14 階建てモデルー2 種地盤ー春日部 (変位一定型 ($D_S=0.25$ は除く))

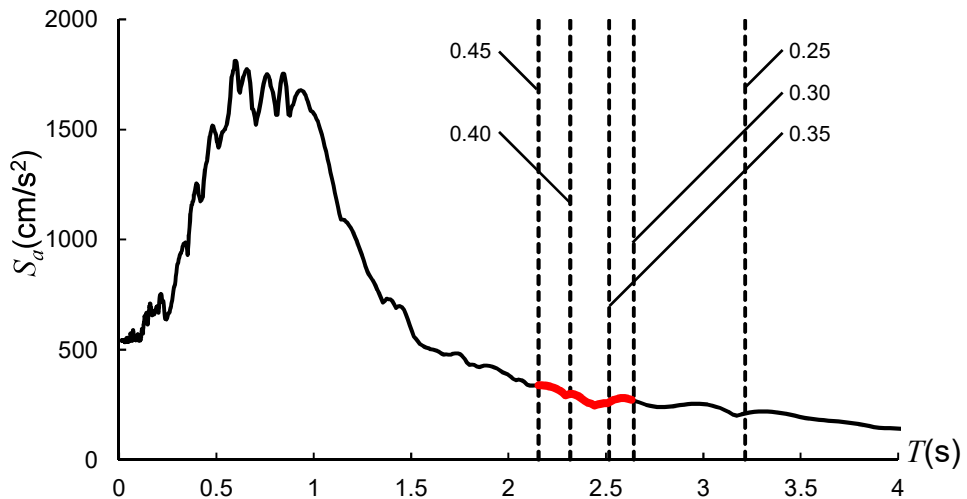


(a) 加速度応答スペクトル S_a と建築物の等価周期 T_{eq}

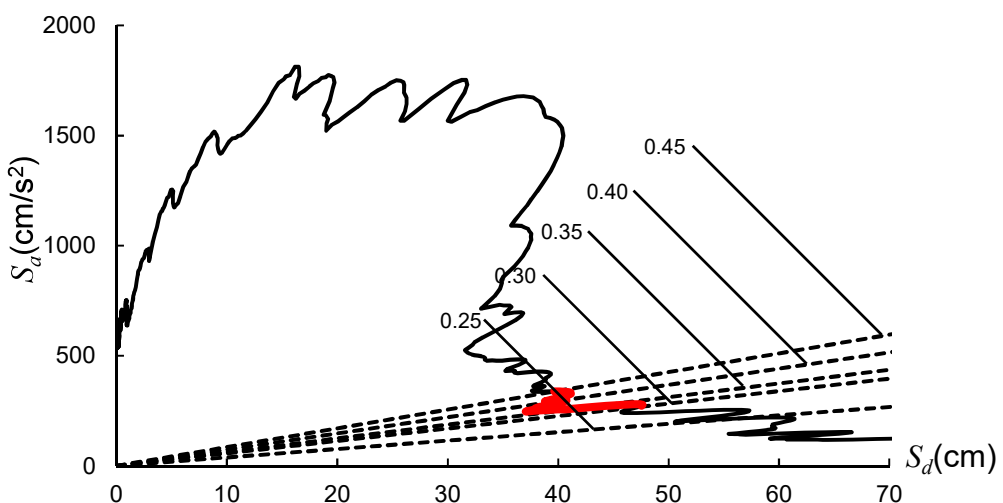


(b) 加速度応答スペクトル S_a , 応答スペクトル S_d 及び建築物の等価周期 T_{eq}

図 4.23 14 階建てモデルー2 種地盤ー厚木 (変位一定型 ($D_S=0.25$ は除く))

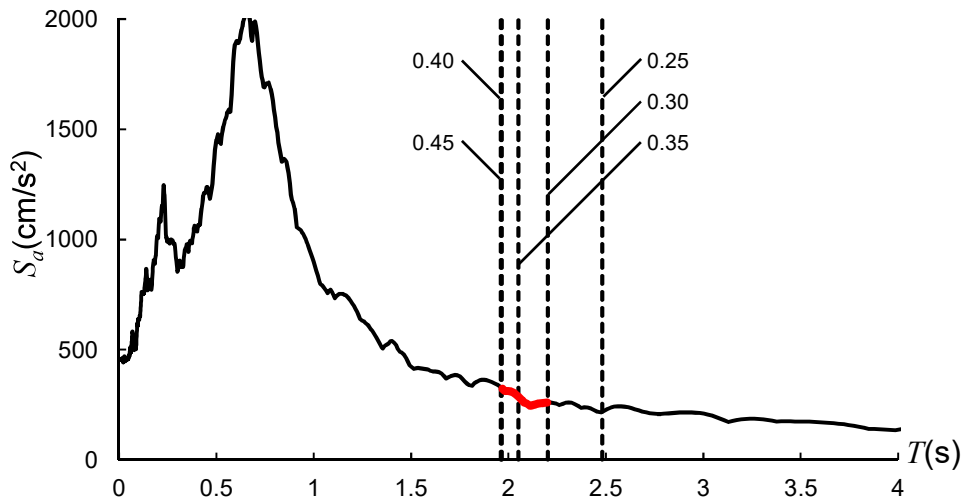


(a) 加速度応答スペクトル S_a と建築物の等価周期 T_{eq}

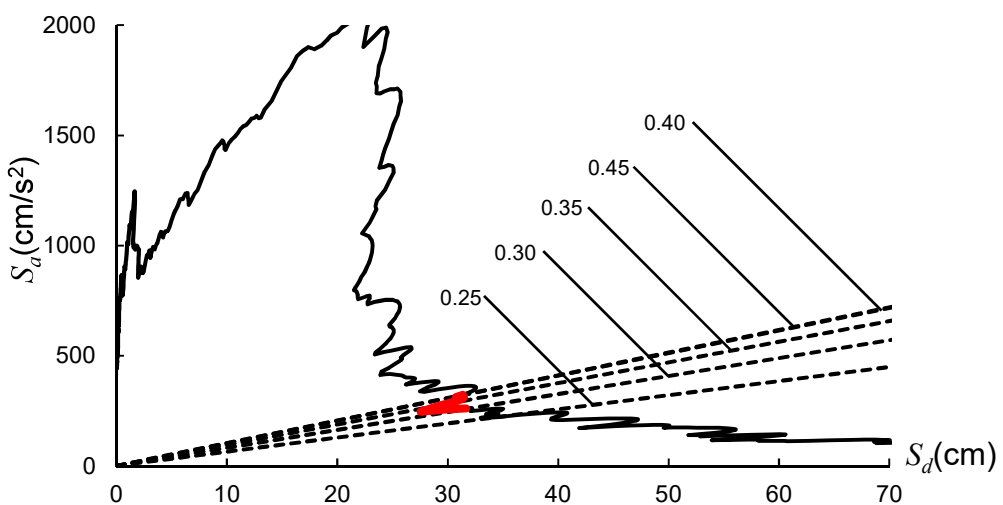


(b) 加速度応答スペクトル S_a , 応答スペクトル S_d 及び建築物の等価周期 T_{eq}

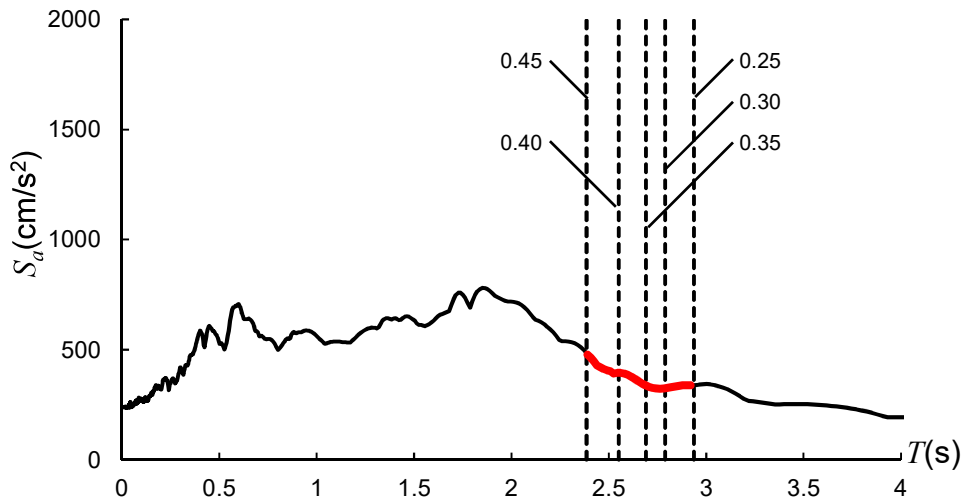
図 4.24 14 階建てモルタル 2 種地盤一川崎 (変位一定型 ($D_S=0.25$ は除く))



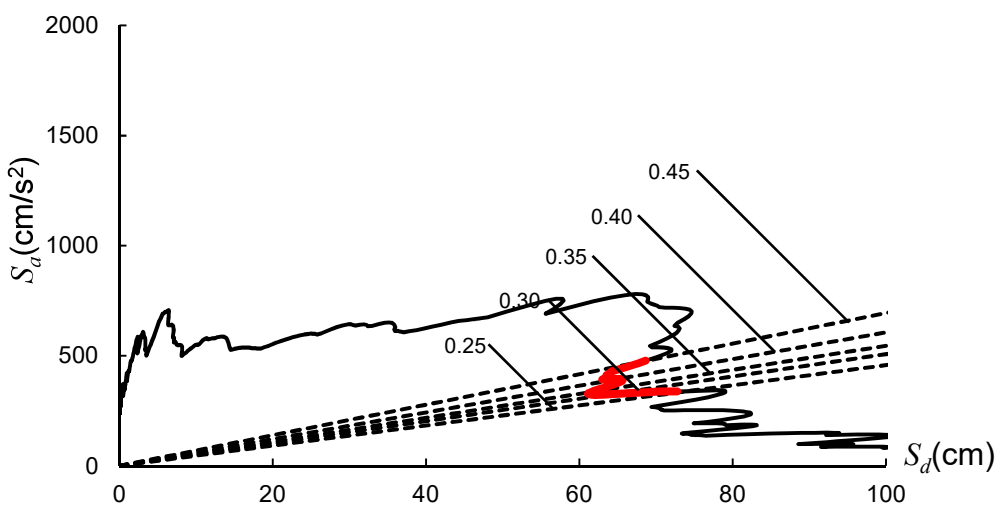
(a) 加速度応答スペクトル S_a と建築物の等価周期 T_{eq}



(b) 加速度応答スペクトル S_a , 応答スペクトル S_d 及び建築物の等価周期 T_{eq}
 図 4.25 14 階建てモデルー3 種地盤一鴨川 (変位一定型 ($D_S=0.25$ は除く))



(a) 加速度応答スペクトル S_a と建築物の等価周期 T_{eq}



(b) 加速度応答スペクトル S_a , 応答スペクトル S_d 及び建築物の等価周期 T_{eq}

図 4.26 14 階建てモデルー3 種地盤ー横浜（変位一定型）